

کاهش سطح مقطع راداری از طریق بررسی نامربی‌ساز

الکترومغناطیسی استوانه‌ای ساده شده

علی قائدی^۱، زهرا اطلس باف^{۲*}، عباس پیرهادی^۳

۱- دانشجوی دکتری و ۲- دانشیار دانشگاه تربیت مدرس

۳- استادیار دانشکده مهندسی برق و کامپیوتر دانشگاه شهید بهشتی

(دریافت: ۱۳۹۱/۰۳/۳۰، پذیرش: ۱۳۹۱/۰۹/۱۹)

چکیده

در این مقاله، عملکرد و حساسیت نامربی‌ساز الکترومغناطیسی استوانه‌ای با درنظر گرفتن اثر انواع مختلف نامربی‌سازهای ساده شده، مورد بررسی قرار گرفته است. هر چند که از نظر کاهش انعکاس و پراکنده‌گی، عملکرد نامربی‌سازهای ساده شده مانند عملکرد نامربی‌ساز ایده‌آل نیست، ولی ضمن قابلیت تحقق عملی، استثمار و کاهش سطح مقطع راداری قابل قبولی را ارائه می‌دهند. برای بررسی عملکرد ساختارهای اشاره شده، معادله موج درون نواحی مختلف استخراج شده و حل دقیق آن به صورت تحلیلی ارائه شده است. نتیجه‌های تحلیلی حاصل با نتیجه‌های شبیه‌سازی تمام سطح مقطع راداری در محدوده فرکانسی ۱۰ MHz تا ۳ GHz انجام شده است. نتیجه‌های شبیه‌سازی، کاهش سطح مقطع راداری بیش از ۱۸ dB برای نامربی‌ساز ساده شده را نشان می‌دهد.

کلیدواژه‌ها: نامربی‌ساز الکترومغناطیسی، انتقال مختصات، پراکنده‌گی، معادله موج، استثمار، سطح مقطع راداری.

Simplified Cylindrical Electromagnetic Cloak for Reduction of RCS

A. Ghaeedi, Z. Atlasbaf*, A. Pirhadi

Tarbiat Modares University

(Received: 19/06/2012; Accepted: 09/12/2012)

Abstract

In this paper, the performance and sensitivity of the cylindrical electromagnetic cloak considering the effect of different simplified cloaks are investigated. The performance of simplified cloak is less than ideal cloak; however, it can be realized in practice with acceptable level of RCS reduction. The exact wave solution for different regions of cylindrical cloak is derived and validated with full-wave simulations results based on COMSOL Multiphysics. Numerical experiments of RCS are performed for frequency band from 10MHz to 3GHz. The results of simulation show more than 18dB RCS reduction for simplified cloak.

Keywords: Electromagnetic Cloak, Coordinate Transformation, Scattering, Wave Equation, Invisibility, RCS.

* Corresponding author E-mail: atlasbaf@modares.ac.ir

Passive Defence Sci. & Tech. 2012, 3, 249-258

شده راجع به نامری ساز الکترومغناطیسی، برای موج تابشی استوانه ای در میدان های نزدیک و میدان های دور از نظر کاهش سطح مقطع راداری کمترین بررسی تحلیلی یا مدل سازی عددی منتشر شده است. در این مقاله، معادله موج در محیط نامری ساز الکترومغناطیسی استوانه ای استخراج و حل شده است و فرمول بندی تحلیلی میدان های الکترومغناطیسی نزدیک و دور مسئله ارائه شده است و مشخصات پراکنده ای نامری ساز الکترومغناطیسی استوانه ای با تمام جزئیات بررسی شده است. میدان های الکترومغناطیسی حاصل از فرمول بندی تحلیلی نواحی مختلف با استفاده از نرم افزار MATLAB محاسبه شده و با نتیجه های شبیه سازی تمام موج بسته نرم افزاری COMSOL Multiphysics مقایسه و تصدیق شده است.

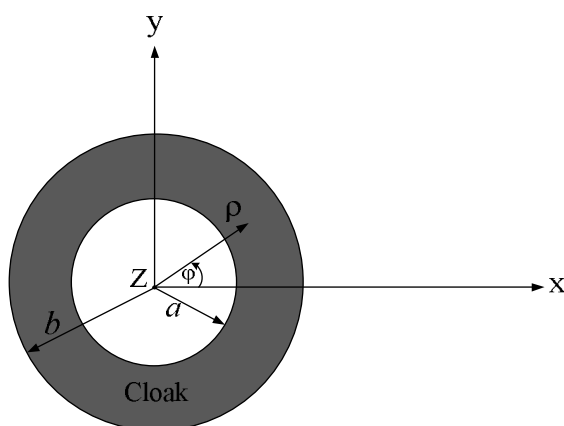
عملکرد و حساسیت نامری ساز استوانه ای در حضور برخی از ملاحظات عملی، مانند اثر نامری ساز ساده شده، بررسی شده است و پارامترهای نامری سازهای ساده شده مختلف بررسی و با پارامترهای نامری ساز ایده آل مقایسه شده است. میزان کاهش سطح مقطع راداری، با به کار گیری هر کدام از نامری سازهای ساده شده بررسی و با هم مقایسه شده است.

این مقاله در شش بخش سازمان دهی شده است. در بخش دوم، پاسخ دقیق معادله موج برای محیط نامری ساز الکترومغناطیسی، استخراج شده است. در بخش سوم فرمول بندی میدان های نزدیک و دور الکترومغناطیسی برای مسئله بحث شده است. در بخش چهارم نتیجه های عددی و شبیه سازی ارائه شده است. بخش پنجم نتیجه گیری را در بر می گیرد و در نهایت مراجع آمده است.

۲. معادله موج در محیط نامری ساز الکترومغناطیسی استوانه ای

شکل (۱) مدل نامری ساز استوانه ای ایده آل را نشان می دهد. این نوع نامری ساز با استفاده از یک انتقال مختصات به صورت زیر ایجاد می شود [۲].

$$\rho \rightarrow \frac{b-a}{b} \rho + a \quad , \quad \phi \rightarrow \phi \quad , \quad z \rightarrow z \quad (1)$$



شکل ۱. مدل نامری ساز استوانه ای ایده آل

۱. مقدمه

دست یابی به نامری سازی و استثار برای دهه های مختلف موضوع مورد علاقه فیزیکدانان و مهندسان بوده است. استفاده از مواد جاذب و پوشش های بدون انعکاس به منظور کاهش پراکنده ای یا انعکاس از اجسام به عنوان یک روش مرسوم در خیلی از کاربردها مدنظر بوده است. چگونگی استفاده از پوشش های پسیو کم تلف (با حتی بدون تلف) به منظور کاهش شدید پراکنده ای از اجسام، همواره بحث اصلی به شمار رفته است. توجه بسیار زیاد به موضوع استثار و نامری سازی اجسام و نیز کاهش سطح مقطع راداری به پیشرفت ها و تحقیقات جدیدی در زمینه ساختارهای نامری ساز الکترومغناطیسی^۱ منجر شده است [۱-۵]. پندری و همکارانش برای اولین بار یک نامری ساز الکترومغناطیسی براساس انتقال مختصات^۲ پیشنهاد دادند [۱]. در این روش، میدان های الکترومغناطیسی را می توان طوری کنترل کرد که از اطراف جسم نامری شونده منتشر شوند و با جسم مذکور هیچ نوع برخوردی نداشته باشند. در مرجع [۲] یک نمونه نامری ساز با پارامترهای ساده شده با استفاده از حلقه های شکافته شده تشدیدی^۳ ساخته شده و نتیجه های آزمایش و اندازه گیری آن در فرکانس های مایکروویو گزارش شده است. همچنین برای طراحی نامری ساز دو بعدی یک روش نگاشت همدیس نوری به صورت دنبال کردن اشعه مورد استفاده قرار گرفته است [۳]. با توجه به تغییرناپذیر بودن معادلات ماکسول در اثر انتقال مختصات، مشخصات پارامترهای اساسی ماده از روی پارامترهای انتقال یافته، قابل استخراج است [۴]. رویکردهای دیگری نیز برای کاهش آشکارسازی وجود دارد، به عنوان مثال با طراحی یک پوشش پلاسمائی برای جسم، با حذف دوقطبی پراکنده ای، سطح مقطع پراکنده ای کاهش می باید [۷-۹].

ساختارهای نامری ساز الکترومغناطیسی مبتنی بر روش Pendry هم با روش های تحلیلی و هم با روش های عددی مدل سازی و بررسی شده اند [۱۰-۱۸]. در مرجع [۱۰] یک مدل پراکنده ای برای تحلیل نامری سازهای کروی ارائه شده است، همچنین نشان داده شده است که سطوح ولتاژ الکتریکی و مغناطیسی غیر عادی بر روی سطح درونی نامری ساز ایده آل القاء می شود [۱۱ و ۱۲]. حساسیت ساختارهای نامری ساز ایده آل و غیر ایده آل در مراجع [۱۳ و ۱۴] بررسی شده اند. همچنین شبیه سازی های عددی متعددی برای مطالعه نامری سازی پندری صورت پذیرفته است که در آنها ابرازهایی هم چون روش تفاضل محدود در حوزه زمان^۴ [۱۵] و بسته نرم افزاری تجاری COMSOL Multiphysics مبتنی بر روش المان محدود^۵، به کار گرفته شده است [۱۶-۱۸].

در تحقیقات و بررسی های تحلیلی و شبیه سازی های عددی منتشر

¹ Electromagnetic Cloak

² Coordinate Transformation

³ Split Ring Resonators (SRRs)

⁴ Finite-Difference Time-Domain (FDTD)

⁵ Finite-Element Method (FEM)

میدان ($E_z^c(\rho)$) نیز به صورت جواب معادله دیفرانسیل بسل مرتبه n زیر به دست می آید [۱۹]:

$$(\rho-a)^2 \frac{d^2 E_z^c(\rho)}{d\rho^2} + (\rho-a) \frac{d E_z^c(\rho)}{d\rho} + \left[\left(\frac{b}{b-a} \right)^2 (\rho-a)^2 \beta_0^2 - n^2 \right] E_z^c(\rho) = 0 \quad (7)$$

جواب عمومی معادله دیفرانسیل بسل فوق به صورت $f_n[\beta_\rho(\rho-a)]$ است که در آن $f_n[\beta_\rho(\rho-a)] = \beta_0 b / (b-a)$ و $\beta_\rho = \beta_0 b / (b-a)$ تابع بسل یا هنکل مرتبه n عدد صحیح است. بنابراین جواب عمومی برای مؤلفه z میدان الکتریکی درون محیط نامری ساز به صورت زیر به دست می آید:

$$E_z^c(\rho, \phi, z) = \sum_{n=-\infty}^{\infty} \left\{ \alpha_n^{C1} J_n[\beta_\rho(\rho-a)] + \alpha_n^{C2} H_n^{(1)}[\beta_\rho(\rho-a)] \right\} e^{jn(\phi-\phi') + j\beta_z z} \quad (8)$$

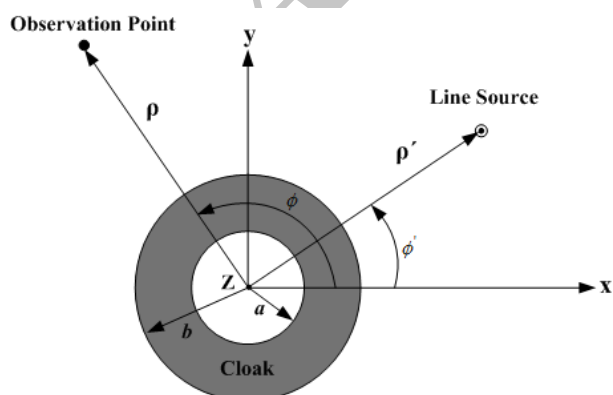
که در آن α_n^{C1} و α_n^{C2} ضرایب مجهول بسط هستند و $J_n()$ و $H_n^{(1)}$ به ترتیب تابع بسل مرتبه n و تابع هنکل نوع اول مرتبه n هستند.

۳. فرمول بندی میدان های الکترومغناطیسی

در اینجا فرمول بندی میدان های الکترومغناطیسی برای حالت های میدان نزدیک و میدان دور استخراج خواهد شد.

۱-۳. میدان های نزدیک الکترومغناطیسی

مطابق شکل (۲) یک استوانه هادی به شعاع a درون ناحیه نامری شونده^۱ درنظر می گیریم که یک لایه نامری ساز استوانه ای با شعاع داخلی a و شعاع خارجی b و با محور استوانه در راستای محور z , آن را دربر گرفته است و یک منبع خطی الکتریکی به طول بی نهایت در بیرون از نامری ساز و در فاصله ρ از مبدأ و به موازات محور z قرار گرفته است، کل ساختار را روش نیز کند.



شکل ۲. پیکربندی نامری ساز استوانه ای با منبع خطی الکتریکی در بیرون از ناحیه نامری ساز

این انتقال ناحیه استوانه ای $b \leq \rho \leq a$ را به ناحیه حلقه ای $a \leq \rho \leq b$ فشرده می سازد، که a شعاع داخلی و b شعاع خارجی نامری ساز استوانه ای است.

با توجه به تغییرناپذیر بودن معادلات ماکسول در اثر انتقال مختصات و تفسیر انتقال به تبدیل ضریب های گذردهی و نفوذپذیری ماده، به طور معادل یک مجموعه کامل از پارامترهای ماده برای نامری ساز ایده آل به صورت معادله های (۲) به دست می آید [۲].

$$\varepsilon_\rho(\rho) = \mu_\rho(\rho) = \frac{\rho-a}{\rho} \quad (2-\text{الف})$$

$$\varepsilon_\phi(\rho) = \mu_\phi(\rho) = \frac{\rho}{\rho-a} \quad (2-\text{ب})$$

$$\varepsilon_z(\rho) = \mu_z(\rho) = \left(\frac{b}{b-a} \right)^2 \frac{\rho-a}{\rho} \quad (2-\text{ج})$$

پارامترهای فوق عناصر قطر اصلی تansورهای ضریب های گذردهی و نفوذپذیری نامری ساز ایده آل را نشان می دهند و سایر عناصر تansورهای مذکور صفر هستند.

به منظور استخراج معادله موج در نامری ساز استوانه ای، معادله های ماکسول برای محیط بدون منبع و با ضریب های گذردهی و نفوذپذیری تansوری، استفاده می شود [۲۰].

$$\nabla \times \vec{E} = -j \omega \bar{\mu} \vec{H} \quad (3-\text{الف})$$

$$\nabla \times \vec{H} = j \omega \bar{\varepsilon} \vec{E} \quad (3-\text{ب})$$

با ترکیب معادله های کمل فوق و با درنظر گرفتن تansورهای $\bar{\varepsilon}$ و $\bar{\mu}$ ، معادله موج درون نامری ساز را می توان به صورت زیر نوشت:

$$\nabla \times \left[\left(\bar{\mu} \right)^{-1} \left(\nabla \times \vec{E}^C \right) \right] - \omega^2 \left(\bar{\varepsilon} \right) \vec{E}^C = 0 \quad (4)$$

که \vec{E}^C نمایانگر میدان الکتریکی درون نامری ساز است و برای مؤلفه z آن، رابطه (۴) به صورت زیر خلاصه می شود:

$$\rho^2 \frac{\partial^2 E_z^c}{\partial \rho^2} + \rho \mu_\phi(\rho) \frac{\partial E_z^c}{\partial \rho} + \frac{\mu_\phi(\rho)}{\mu_\rho(\rho)} \frac{\partial^2 E_z^c}{\partial \phi^2} + \varepsilon_z(\rho) \mu_\phi(\rho) \rho^2 \beta_0^2 E_z^c = 0 \quad (5)$$

که β_0 عدد موج در فضای آزاد است. همان طور که از رابطه (۵) می توان دید فقط پارامترهای ε_z , μ_ϕ , μ_ρ با معادله موج برای مؤلفه z میدان الکتریکی درون نامری ساز E_z^c مرتبط است. با جایگذاری پارامترهای نامری ساز ایده آل، معادله موج مذکور به صورت رابطه (۶) در می آید:

$$\rho^2 \frac{\partial^2 E_z^c}{\partial \rho^2} + \frac{\rho^2}{\rho-a} \frac{\partial E_z^c}{\partial \rho} + \frac{\rho^2}{(\rho-a)^2} \frac{\partial^2 E_z^c}{\partial \phi^2} + \left(\frac{b}{b-a} \right)^2 \rho^2 \beta_0^2 E_z^c = 0 \quad (6)$$

با استفاده از روش جداسازی متغیرها و با فرض $E_z^c(\phi) = E_z^c(\rho) \cdot E_z^c(z)$ و $E_z^c(z) = e^{jn\phi}$ نیز

^۱ Cloaked Region

با استفاده از رابطه (۱۳) مؤلفه ϕ میدان مغناطیسی در ناحیه بیرون از نامری ساز و درون ناحیه نامری ساز به ترتیب به صورت روابط (۱۴) و (۱۵) به دست می آیند:

$$H_{\phi}^{\text{out}}(\rho, \phi) = \frac{1}{j \omega \mu_0} \frac{\partial E_z^{\text{out}}}{\partial \rho} = j \frac{\beta_0 I_e}{4} \times \quad (14)$$

$$\begin{cases} \sum_{n=-\infty}^{\infty} [J'_n(\beta_0 \rho) H_n^{(2)}(\beta_0 \rho') + \alpha_n^s H_n^{(2)\prime}(\beta_0 \rho')] e^{jn(\phi-\phi')} & b \leq \rho \leq \rho' \\ \sum_{n=-\infty}^{\infty} [J_n(\beta_0 \rho') + \alpha_n^s] H_n^{(2)\prime}(\beta_0 \rho) e^{jn(\phi-\phi')} & \rho \geq \rho' \end{cases}$$

$$H_{\phi}^C(\rho, \phi) = \frac{1}{j \omega \mu_0 \mu_\phi} \frac{\partial E_z^C}{\partial \rho} = j \frac{\beta_0 I_e}{4 \mu_\phi} \times \quad (15)$$

$$\sum_{n=-\infty}^{\infty} [\alpha_n^{C1} J_n'(\beta_\rho(\rho-a)] + \alpha_n^{C2} H_n^{(1)\prime}[\beta_\rho(\rho-a)] e^{jn(\phi-\phi')} a \leq \rho \leq b$$

ضریب های مجھول α_n^{C1} و α_n^{C2} با اعمال شرایط مرزی بر روی دو سطح $\rho=a$ و $\rho=b$ تعیین می شوند. برای پرهیز از وقوع تکینی موجود در رابطه (۱-ب) مرز داخلی نامری ساز را به جای a در $\rho=a+\delta$ فرض می کنیم و درنهایت این پارامتر δ را در معادله ها به سمت صفر میل می دهیم.

از اعمال شرایط مرزی بر مرز درونی نامری ساز $\rho=a$ که سطح هادی است، می توان نوشت:

$$E_z^C(a, \phi) = 0 \Rightarrow \quad (16)$$

$$\alpha_n^{C1} J_n[\beta_\rho(\delta)] + \alpha_n^{C2} H_n^{(1)}[\beta_\rho(\delta)] = 0$$

از اعمال شرایط مرزی بر مرز بیرونی نامری ساز $\rho=b$ نیز می توان نوشت:

$$E_z^{\text{out}}(b, \phi) = E_z^C(b, \phi)$$

$$\Rightarrow J_n(\beta_0 b) H_n^{(2)}(\beta_0 \rho') + \alpha_n^s H_n^{(2)}(\beta_0 b) = \quad (17)$$

$$\alpha_n^{C1} J_n[\beta_\rho(b-a)] + \alpha_n^{C2} H_n^{(1)}[\beta_\rho(b-a)]$$

$$H_{\phi}^{\text{out}}(b, \phi) = H_{\phi}^C(b, \phi)$$

$$\Rightarrow \beta_0 \left[J'_n(\beta_0 b) H_n^{(2)}(\beta_0 \rho') + \alpha_n^s H_n^{(2)\prime}(\beta_0 b) \right] = \quad (18)$$

$$\frac{\beta_\rho}{\mu_\phi(b)} \left\{ \alpha_n^{C1} J_n'[\beta_\rho(b-a)] + \alpha_n^{C2} H_n^{(1)\prime}[\beta_\rho(b-a)] \right\}$$

در رابطه (۱۶) وقتی $0 \rightarrow \delta$ ، آرگومان تابع هنکل به سمت صفر میل می کند، بنابراین برای اجتناب از بی نهایت شدن سمت چپ این رابطه، ضریب α_n^{C2} باید صفر شود. با توجه به اینکه در رابطه (۱۸)

$$\text{ضریب } \frac{\beta_\rho}{\mu_\phi(b)} \text{ را می توان به صورت زیر نوشت:}$$

$$\frac{\beta_\rho}{\mu_\phi(b)} = \frac{\beta_0 \frac{b}{b-a}}{\frac{b}{b-a}} = \beta_0 \quad (19)$$

پس α_n^s به صورت رابطه (۲۰) محاسبه می شود.

$$\alpha_n^s = H_n^{(2)}(\beta_0 \rho') \times \quad (20)$$

$$\frac{J_n(\beta_0 b) J_n'[\beta_\rho(b-a)] - J'_n(\beta_0 b) J_n[\beta_\rho(b-a)]}{J_n[\beta_\rho(b-a)] H_n^{(2)\prime}(\beta_0 b) - J_n'[\beta_\rho(b-a)] H_n^{(2)}(\beta_0 b)}$$

ولی با توجه به $\beta_\rho(b-a) = \beta_0 b$ صورت رابطه (۲۰) صفر می شود، پس ضریب α_n^s نیز صفر می شود.

با توجه به اینکه برای میدان های تشعشعی ناشی از منبع خطی الکتریکی به طول بی نهایت درجه محور z ، فقط مد TM^z وجود دارد [۱۹]، بنابراین فقط با مؤلفه z میدان الکتریکی سر و کار داریم. بدون این که از کلیت مسئله کاسته شود، محیط بیرون نامری ساز و محل قرار گرفتن منبع را فضای آزاد درنظر می گیریم.

برای میدان نزدیک، میدان الکتریکی تابشی ناشی از منبع خطی الکتریکی را می توان به صورت (۹) نوشت [۱۹]:

$$\bar{E}^i(\rho, \phi) = -\hat{a}_z \frac{\beta_0^2 I_e}{4 \omega \epsilon_0} \times \quad (9)$$

$$\begin{cases} \sum_{n=-\infty}^{\infty} J_n(\beta_0 \rho) H_n^{(2)}(\beta_0 \rho') e^{jn(\phi-\phi')} & \rho \leq \rho' \\ \sum_{n=-\infty}^{\infty} J_n(\beta_0 \rho') H_n^{(2)}(\beta_0 \rho) e^{jn(\phi-\phi')} & \rho \geq \rho' \end{cases}$$

با توجه به این میدان الکتریکی تابشی، میدان های الکتریکی در نواحی مختلف را می توان به دست آورد. میدان الکتریکی پراکندگی در بیرون از ناحیه نامری ساز عبارت است از [۱۹]:

$$\bar{E}^s(\rho, \phi) = -\hat{a}_z \frac{\beta_0^2 I_e}{4 \omega \epsilon_0} \sum_{n=-\infty}^{\infty} \alpha_n^s H_n^{(2)}(\beta_0 \rho) e^{jn(\phi-\phi')} \quad \rho \geq b \quad (10)$$

که در آن، α_n^s ضریب مجھول بسط میدان الکتریکی پراکندگی است. بنابراین میدان الکتریکی کل برای ناحیه بیرون از نامری ساز ($\rho \geq b$) را می توان به صورت مجموع میدان های الکتریکی تابشی و پراکندگی نوشت [۲۰]:

$$\bar{E}^{\text{out}}(\rho, \phi) = \bar{E}^i(\rho, \phi) + \bar{E}^s(\rho, \phi) = -\hat{a}_z \frac{\beta_0^2 I_e}{4 \omega \epsilon_0} \times \quad (11)$$

$$\begin{cases} \sum_{n=-\infty}^{\infty} [J_n(\beta_0 \rho) H_n^{(2)}(\beta_0 \rho') + \alpha_n^s H_n^{(2)\prime}(\beta_0 \rho)] e^{jn(\phi-\phi')} & b \leq \rho \leq \rho' \\ \sum_{n=-\infty}^{\infty} [J_n(\beta_0 \rho') + \alpha_n^s] H_n^{(2)}(\beta_0 \rho) e^{jn(\phi-\phi')} & \rho \geq \rho' \end{cases}$$

میدان الکتریکی در محیط نامری ساز ($a \leq \rho \leq b$) طبق رابطه (۸) است، پس می توان نوشت:

$$\bar{E}^c(\rho, \phi) = -\hat{a}_z \frac{\beta_0^2 I_e}{4 \omega \epsilon_0} \sum_{n=-\infty}^{\infty} \left\{ \alpha_n^{C1} J_n[\beta_\rho(\rho-a)] + \alpha_n^{C2} H_n^{(1)}[\beta_\rho(\rho-a)] \right\} e^{jn(\phi-\phi')} \quad a \leq \rho \leq b \quad (12)$$

که در آن α_n^{C1} و α_n^{C2} ضرایب مجھول بسط برای میدان الکتریکی درون ناحیه نامری ساز هستند.

درنهایت با توجه به هادی بودن استوانه به شعاع a ، در ناحیه ($\rho \leq a$) میدان های الکترو مغناطیسی صفر خواهند بود. از معادله های ماسکول و با استفاده از قانون فاراده میدان های مغناطیسی نیز می توان استخراج کرد:

$$\bar{H}(\rho, \phi) = \frac{1}{-j \omega \mu_0} [\nabla \times \bar{E}(\rho, \phi)] \quad (13)$$

چون برای مد TM^z ، میدان الکتریکی فقط مؤلفه z دارد، پس میدان مغناطیسی مؤلفه های ϕ و r دارد. اما برای اعمال شرایط مرزی فقط به مؤلفه های مماسی نیاز است، پس به این منظور با توجه به ساختار استوانه ای مسئله فقط با مؤلفه های z و ϕ میدان های الکترو مغناطیسی سر و کار داریم.

میدان الکتریکی در محیط نامری ساز ($\rho \leq b$) در این حالت نیز طبق رابطه (۸) است، پس می توان نوشت:

$$\begin{aligned} \overline{\mathbf{E}}^C(\rho, \phi) &= \hat{a}_z \sum_{n=-\infty}^{\infty} \left\{ A_n^{C1} J_n [\beta_\rho(\rho-a)] + \right. \\ &\quad \left. A_n^{C2} H_n^{(1)} [\beta_\rho(\rho-a)] \right\} e^{jn\phi} \quad a \leq \rho \leq b \end{aligned} \quad (25)$$

که در آن، A_n^{C1} و A_n^{C2} ضرایب مجھول بسط برای میدان الکتریکی درون ناحیه نامری ساز در این حالت هستند. چون در این حالت نیز میدان الکتریکی فقط مؤلفه z دارد، پس میدان مغناطیسی مؤلفه های ϕ و ρ دارد. اما برای اعمال شرایط مرزی فقط به مؤلفه های مماسی نیاز است، پس به این منظور با توجه به ساختار استوانه ای مسئله فقط با مؤلفه های z و ϕ میدان های الکترو مغناطیسی سر و کار داریم. با استفاده از رابطه (۱۳) مؤلفه ϕ میدان مغناطیسی در ناحیه بیرون از نامری ساز و درون ناحیه نامری ساز به ترتیب به صورت معادله های (۲۶) و (۲۷) بدست می آیند:

$$\begin{aligned} \mathbf{H}_\phi^{\text{out}}(\rho, \phi) &= \frac{1}{j\omega\mu_0} \frac{\partial E_z^{\text{out}}}{\partial \rho} \\ &= \frac{\beta_0}{j\omega\mu_0} \sum_{n=-\infty}^{\infty} [j^{-n} J'_n(\beta_0\rho) + A_n^S H_n^{(2)}(\beta_0\rho)] e^{jn\phi} \quad \rho \geq b \end{aligned} \quad (26)$$

$$\begin{aligned} \mathbf{H}_\phi^C(\rho, \phi) &= \frac{1}{j\omega\mu_0\mu_\phi} \frac{\partial E_z^C}{\partial \rho} \\ &= \frac{\beta_\rho}{j\omega\mu_0\mu_\phi} \sum_{n=-\infty}^{\infty} \left\{ A_n^{C1} J'_n[\beta_\rho(\rho-a)] + \right. \\ &\quad \left. A_n^{C2} H_n^{(1)}[\beta_\rho(\rho-a)] \right\} e^{jn\phi} \quad a \leq \rho \leq b \end{aligned} \quad (27)$$

ضریب های مجھول A_n^{C1} ، A_n^{C2} و A_n^S با اعمال شرایط مرزی بر روی مرزهای استوانه ای $\rho = a$ و $\rho = b$ تعیین می شوند. به طریقی مشابه حالت میدان های نزدیک، برای حالت میدان دور نیز ضریب های مجهول مذکور عبارت است از:

$$A_n^{C2} = 0, \quad A_n^S = 0, \quad A_n^{C1} = j^{-n} \quad (28)$$

همان طور که ملاحظه می شود، در حالت میدان های دور نیز، در بیرون نامری ساز هیچ میدان پراکندگی وجود ندارد و امواج از درون ناحیه نامری ساز بدون حس کردن حضور استوانه هادی عبور می کنند.

۴. نتایج عددی و شبیه سازی

در این بخش برای ساختار نامری ساز استوانه ای شکل های (۲) و (۳) میدان های نزدیک و دور براساس فرمول بندی تحلیلی بخش قبل محاسبه و صحت آن، با نتیجه های شبیه سازی تمام موج حاصل از بسته نرم افزاری COMSOL Multiphysics (که براساس المان محدود است) بررسی می شود. علاوه بر آن در حالت میدان دور بر روی میزان کاهش سطح مقطع راداری در اثر استفاده از لایه نامری ساز الکترو مغناطیسی استوانه ای تحقیق شده است و نیز از نظر تحقق عملی، با ساده سازی پارامترها، رفتار انواع نامری سازهای ساده شده

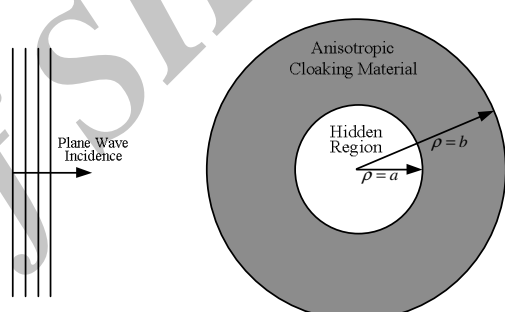
بنابراین با استفاده از (۱۷) ضریب α_n^{C1} نیز طبق رابطه (۲۱) محاسبه می شود.

$$\alpha_n^{C1} = H_n^{(2)}(\beta_0\rho') \quad (21)$$

از صفر بودن ضریب پراکندگی میدان های الکتریکی و مغناطیسی، α_n^{C1} ، به طور کامل واضح است که در حالت نامری ساز ایده آل، هیچ نوع میدان پراکندگی در بیرون از نامری ساز وجود ندارد و امواج در درون نامری ساز نیز مانند محیط فضای آزاد بیرون از نامری ساز و با ثابت انتشار مربوطه منتشر شده و حضور استوانه هادی درونی نیز حس نمی شود.

۲-۳. میدان های دور الکترو مغناطیسی

برای حالت میدان دور، مطابق شکل (۳) ساختار شامل نامری ساز استوانه ای به همراه استوانه هادی به شعاع $a = \rho$ درون ناحیه نامری شونده، به وسیله یک موج مسطح روشن می شود.



شکل ۳. پیکربندی نامری ساز استوانه ای روشن شده با موج مسطح

با فرض مد TM^Z، میدان الکتریکی تابشی یک موج مسطح را می توان به صورت زیر نوشت [۱۹]:

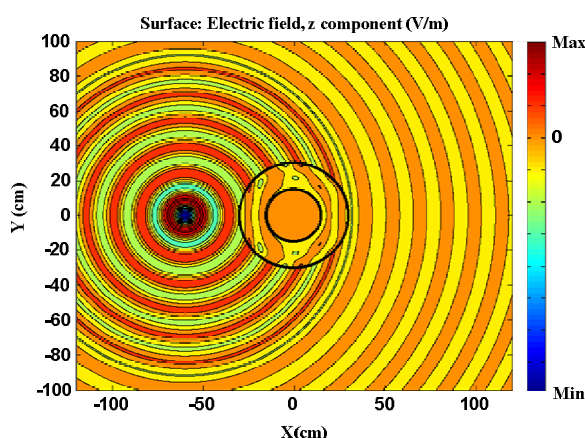
$$\overline{\mathbf{E}}^i(\rho, \phi) = \hat{a}_z \sum_{n=-\infty}^{\infty} j^{-n} J_n(\beta_0\rho) e^{jn\phi} \quad (22)$$

با توجه به میدان دور تابشی (۲۲)، میدان های الکتریکی در نواحی مختلف را می توان به دست آورد. میدان پراکندگی در بیرون از ناحیه نامری ساز عبارت است از [۱۹]:

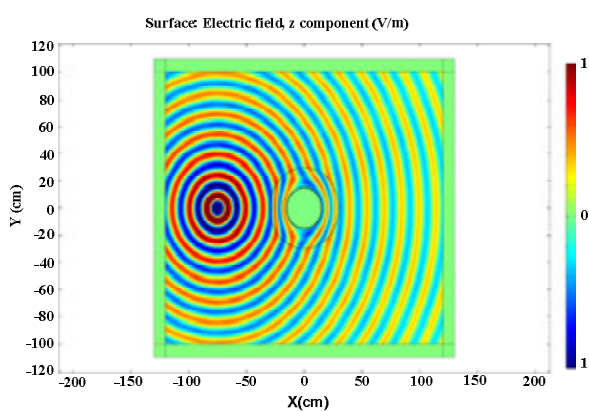
$$\overline{\mathbf{E}}^S(\rho, \phi) = \hat{a}_z \sum_{n=-\infty}^{\infty} A_n^S H_n^{(2)}(\beta_0\rho) e^{jn\phi} \quad \rho \geq b \quad (23)$$

که در آن، A_n^S ضریب مجھول بسط میدان الکتریکی پراکندگی در حالت میدان دور است. بنابراین در این حالت میدان کل برای ناحیه بیرون از نامری ساز ($\rho \geq b$) را می توان به صورت مجموع میدان های الکتریکی تابشی و پراکندگی نوشت [۲۰]:

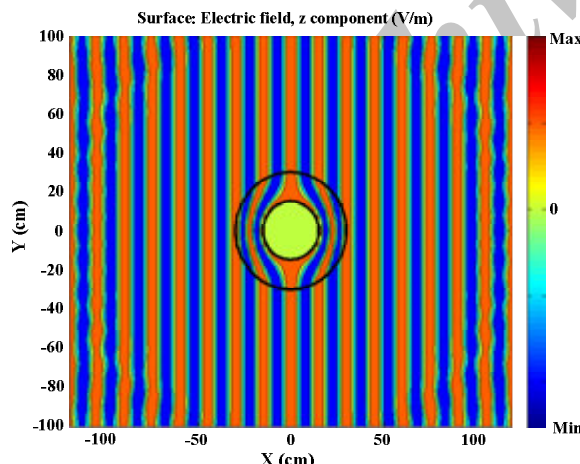
$$\begin{aligned} \overline{\mathbf{E}}^{\text{out}}(\rho, \phi) &= \overline{\mathbf{E}}^i(\rho, \phi) + \overline{\mathbf{E}}^S(\rho, \phi) \\ &= \hat{a}_z \sum_{n=-\infty}^{\infty} [j^{-n} J_n(\beta_0\rho) + A_n^S H_n^{(2)}(\beta_0\rho)] e^{jn\phi} \end{aligned} \quad (24)$$



شکل ۴. توزیع میدان الکتریکی برای حالت میدان نزدیک و براساس فرمول بندی تحلیلی و با استفاده نرم افزار MATLAB



شکل ۵. شبیه سازی تمام موج نامربی ساز ایده آل برای حالت میدان نزدیک و براساس بسته نرم افزاری COMSOL Multiphysics



شکل ۶. توزیع میدان الکتریکی برای حالت میدان دور و براساس فرمول بندی تحلیلی و با استفاده نرم افزار MATLAB

شکل (۷) نیز نتیجه های شبیه سازی تمام موج مسئله میدان دور براساس بسته نرم افزاری COMSOL Multiphysics نشان می دهد. با مقایسه شکل های (۶) و (۷) درستی نتیجه های فرمول بندی تحلیلی به وسیله شبیه سازی تمام موج تأیید می شود. از شکل های (۶) و (۷) نیز عملکرد صحیح و مورد انتظار نامربی ساز ایده آل، قابل مشاهده است، به طوری که موج مسطح الکترو مغناطیسی در اطراف

استوانه ای جهت کاهش سطح مقطع راداری تک هنگامی^۱ و دو هنگامی^۲ نیز مطالعه شده است.

۱-۴. شبیه سازی میدان های نزدیک و دور برای ساختارهای شامل نامربی ساز ایده آل استوانه ای

در شبیه سازی ها شعاع درونی استوانه نامربی ساز را برابر با یک طول موج ($a = \lambda_0$) و شعاع بیرونی آن دو برابر طول موج ($b = 2\lambda_0$) درنظر گرفته شده است، بنابراین ضخامت لایه نامربی ساز استوانه ای برابر با یک طول موج است. در حالت میدان نزدیک، منبع خطی در فاصله دو برابر طول موج از مرز بیرونی لایه نامربی ساز قرار گرفته است و فرکانس کار برابر با ۲ GHz فرض شده است. برای اطمینان از همگرایی محاسبه مجموع جملات سری در فرمول بندی تحلیلی، ۴۵ جمله اول سری در محاسبات درنظر گرفته شده است [۲۱]. در شبیه سازی با نرم افزار COMSOL Multiphysics، با مشبندی ریزتر برای لایه نامربی هادی به شعاع داخلی $a = \rho$ و شعاع خارجی $\rho = a + \delta$ (که δ برابر با ۵ میلی متر است) تأثیر رفتار ضریب های تansor گذره دی و نفوذ پذیری نامربی ساز ایده آل در مرز $\rho = a$ ، بهتر آشکار می شود، بنابراین برای این ناحیه حداکثر ابعاد المان های مش ۱ میلی متر درنظر گرفته شده است.

برای ساختار شکل (۲) با وجود نامربی ساز ایده آل استوانه ای و نیز یک استوانه هادی به شعاع $\rho = a$ ، بر اساس فرمول بندی تحلیلی موجود در معادله های (۹-۱۲) و نیز با استفاده از نرم افزار COMSOL Multiphysics میدان های الکتریکی نواحی مختلف محاسبه شده است و نتیجه ها در شکل (۴) نشان داده شده است. شکل (۵) نیز نتیجه های شبیه سازی تمام موج مسئله میدان نزدیک را براساس بسته نرم افزاری COMSOL Multiphysics نشان می دهد.

با مقایسه شکل های (۴) و (۵) نتیجه های فرمول بندی تحلیلی به وسیله شبیه سازی تمام موج مورد تصدیق قرار می گیرد. از شکل های (۴) و (۵) مشاهده می شود که نامربی ساز، موج الکترو مغناطیسی ورودی را به نرمی خم می کند و طوری آن را هدایت می کند که از پیرامون ناحیه نامربی شونده، منتشر شود. بنابراین استوانه هادی درون ناحیه نامربی شونده حس نمی شود و در بیرون از نامربی ساز نیز میدان الکتریکی تابشی بدون تغییر باقی مانده است، به عبارتی دیگر هیچ نوع میدان پراکندگی وجود ندارد. بنابراین سطح مقطع پراکندگی نامربی ساز ایده آل در حد صفر است.

برای ساختار شکل (۳)، با وجود نامربی ساز ایده آل استوانه ای و نیز یک استوانه هادی کامل به شعاع $\rho = a$ ، براساس فرمول بندی تحلیلی موجود در معادله های (۲۴-۲۵) و نیز با استفاده از نرم افزار COMSOL Multiphysics میدان های الکتریکی نواحی مختلف ساختار محاسبه شده است و نتیجه ها در شکل (۶) نشان داده است.

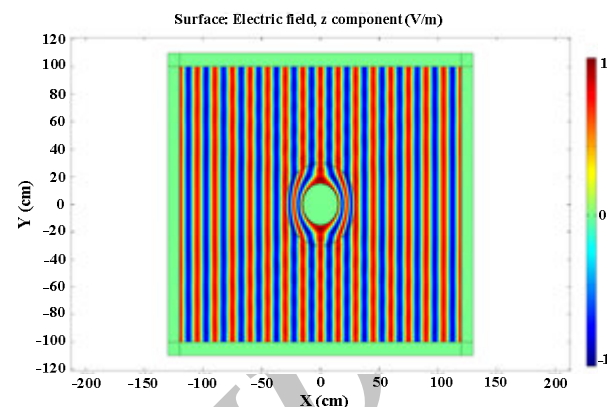
¹ Monostatic Radar Cross Section

² Bistatic Radar Cross Section

گذردهی و نفوذپذیری در مرز $\rho = a$ بینهایت بزرگ می‌شوند و مقادیر پارامترهای ϵ و μ بینهایت کوچک می‌شوند و به سمت صفر میل می‌کنند، پس تحقق عملی نامری ساز ایده‌آل حتی با استفاده از پیشرفت‌های شگرف اخیر در حوزه فرموداد^۱ نیز ناممکن است. بنابراین برای تحقیق و پیاده‌سازی عملی نامری ساز و بهره‌برداری از قابلیت‌های آن، ضروری است که ضریب‌های گذردهی و نفوذپذیری نامری ساز ایده‌آل به روشنی ساده‌سازی شود. اولین بار در مرجع [۲] یک مجموعه از پارامترهای ساده شده ماده پیشنهاد شد و با استفاده از حلقه‌های شکافته شده تشیدیدی ساخته و نتیجه‌های آزمایش و اندازه‌گیری آن در فرکانس‌های مایکروویو گزارش شده است که ما آن را نامری ساز ساده شده-۱ می‌نامیم. پس از آن در مراجع [۲۲-۲۴]، نامری سازهای استوانه‌ای با پارامترهای ساده شده مختلفی ارائه شد که مشخصات پارامترهای نامری سازهای ساده شده مورد بحث در جدول (۱) آمده است.تابع انتقال مختصات همه نامری سازهای ساده شده در اینجا خطی هستند. برای نامری سازهای ساده شده ۴ و ۵ که در جدول (۱) معرفی شده‌اند، از یک نوع تبدیل مختصات استفاده می‌شود و در انتقال مختصات به جای انتقال مرز $\rho = a$ به نقطه مرکز دایره مانند نامری ساز ایده‌آل، مرز $\rho = a$ را به مرزهای دایروی $r_1 = 0.1 m$ برای نامری ساز ساده شده-۴ و $r_2 = 0.05 m$ برای نامری ساز ساده شده-۵ منتقل می‌شود.

تغییرات شعاعی ضریب‌های گذردهی ماده برای نامری ساز ایده‌آل و نیز نامری سازهای ساده شده مختلف در شکل (۸) رسم و مقایسه شده است. از مقایسه تغییرات پارامترهای نامری سازهای مختلف با پارامترهای نامری ساز ساده شده-۱ که پیش از این ساخته و آزمایش شده است [۲] ملاحظه می‌شود که ساخت و پیاده‌سازی اکثر نامری سازهای ساده شده با استفاده از فرموداد امکان‌پذیر است.

ناحیه نامری شونده به نرمی خم می‌شود و از آن ناحیه عبور می‌کند و خارج از ناحیه نامری ساز جبهه موج به‌طور تقریبی بدون تغییر مانده است و همانند جبهه موج تابشی در حالت بدون وجود استوانه هادی است، یعنی میدان پراکندگی وجود ندارد.



شکل ۷. شبیه‌سازی تمام موج نامری ساز ایده‌آل برای حالت میدان دور و براساس بسته نرم‌افزاری COMSOL Multiphysics

۲-۴. شبیه‌سازی سطح مقطع راداری دو هنگامی و تک هنگامی برای ساختارهای شامل نامری سازهای استوانه‌ای مختلف

در این بخش میزان کاهش سطح مقطع راداری با استفاده از نامری ساز الکترومغناطیسی بررسی می‌شود. مطابق رابطه (۲) نامری ساز ایده‌آل در مرز $\rho = a$ رفتار تکینی دارد، یعنی مقادیر پارامترهای ϵ_ϕ و μ_ϕ در روی قطر اصلی تانسورهای ضریب‌های

جدول ۱. پارامترهای مواد شامل ضرایب گذردهی و نفوذپذیری برای نامری ساز ایده‌آل و نامری سازهای ساده شده

نامری ساز ساده شده-۲	نامری ساز ساده شده-۱	نامری ساز ایده‌آل [۱]
$\epsilon_\rho = \mu_\rho = \left(\frac{\rho - a}{\rho} \right)^2 \frac{b}{b - a}$ $\epsilon_\phi = \mu_\phi = \frac{b}{b - a}$ $\epsilon_z = \mu_z = \frac{b}{b - a}$	$\epsilon_\rho = \mu_\rho = \left(\frac{\rho - a}{\rho} \right)^2$ $\epsilon_\phi = \mu_\phi = 1$ $\epsilon_z = \mu_z = \left(\frac{b}{b - a} \right)^2$	$\epsilon_\rho = \mu_\rho = \frac{\rho - a}{\rho}$ $\epsilon_\phi = \mu_\phi = \frac{\rho}{\rho - a}$ $\epsilon_z = \mu_z = \left(\frac{b}{b - a} \right)^2 \frac{\rho - a}{\rho}$
نامری ساز ساده شده-۵	نامری ساز ساده شده-۴	نامری ساز ساده شده-۳
$\epsilon_\rho = \mu_\rho = \frac{\rho(b - \rho_2) - b(a - \rho_2)^2}{(b - \rho_2)\rho}$ $\epsilon_\phi = \mu_\phi = \frac{1}{\epsilon_\rho} = \frac{(b - \rho_2)\rho}{\rho(b - \rho_2) - b(a - \rho_2)^2}$ $\epsilon_z = \mu_z = (\epsilon_\rho) \left(\frac{b - \rho_2}{b - a} \right)^2$	$\epsilon_\rho = \mu_\rho = \frac{\rho(b - \rho_1) - b(a - \rho_1)^2}{(b - \rho_1)\rho}$ $\epsilon_\phi = \mu_\phi = \frac{1}{\epsilon_\rho} = \frac{(b - \rho_1)\rho}{\rho(b - \rho_1) - b(a - \rho_1)^2}$ $\epsilon_z = \mu_z = (\epsilon_\rho) \left(\frac{b - \rho_1}{b - a} \right)^2$	$\epsilon_\rho = \mu_\rho = \frac{(b^2 - \rho a)^2 (p - a)^2}{(b - a)^4 \rho^2}$ $\epsilon_\phi = \mu_\phi = \frac{(a^2 + b^2 - 2\rho a)^2}{(b - a)^4}$ $\epsilon_z = \mu_z = 1$

^۱ Metamaterial

برای شبیه سازی و محاسبه سطح مقطع راداری با حضور نامربی ساز برخوردار است.

برای محاسبه سطح مقطع راداری، یک استوانه هادی به طول $b = 0.30\text{ m}$ دارای شعاع داخلی $a = 0.15\text{ m}$ و شعاع خارجی $b = 0.30\text{ m}$ است. برای محاسبه سطح مقطع راداری دو هنگامی، فرکانس کار مانند بخش قبل برابر با 2 GHz فرض شده است و سطح مقطع راداری تک هنگامی برای محدوده فرکانسی 1 GHz تا 3 GHz محاسبه شده است.

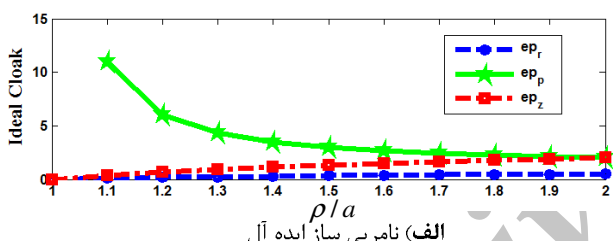
برای مقایسه، سطح مقطع راداری دو هنگامی نرمالیزه شده با طول موج، برای استوانه های هادی تنها و بدون وجود نامربی ساز، به شعاع های $\rho = a$ و $\rho = b$ ، در شکل (۱۰) نشان داده شده است که استوانه هادی به شعاع $\rho = a$ ، از نظر ابعاد فیزیکی مشابه استوانه هادی درون ناحیه نامربی شونده برای ساختار شکل (۳) است و استوانه هادی به شعاع $\rho = b$ ، از نظر اندازه فیزیکی مشابه استوانه های به شعاع بیرونی لایه نامربی ساز استوانه های برای ساختار شکل (۳) است.

برای شبیه سازی و محاسبه سطح مقطع راداری با حضور نامربی ساز استوانه ای، مسئله را دوبعدی در نظر می گیریم، برای مسئله سه بعدی نیز می توان از توسعه همین روش استفاده کرد. در مسئله دوبعدی سطح مقطع راداری دو هنگامی طبق رابطه زیر تعریف می شود [۱۹]:

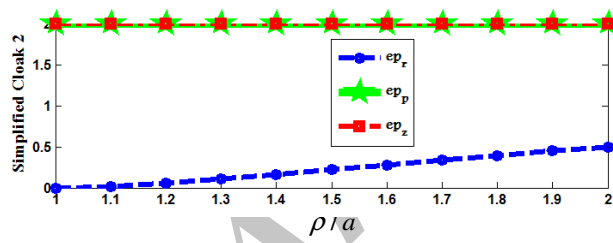
$$\sigma_{2-D} = \lim_{\rho \rightarrow \infty} \left[2\pi\rho \frac{|E_z^S|^2}{|E_z^i|^2} \right] \quad (29)$$

که E_z^i میدان الکتریکی تابشی و E_z^S میدان الکتریکی پراکنده شده است.

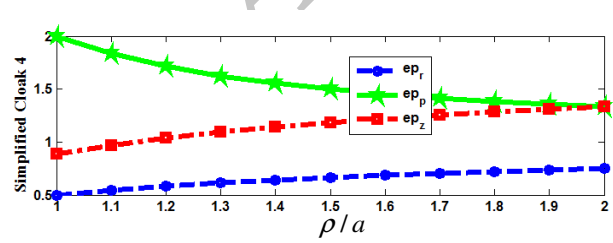
در این بخش با استفاده از بسته نرم افزاری COMSOL Multiphysics عملکرد نامربی سازهای ساده شده جهت کاهش سطح مقطع راداری مطالعه شده است. برای بررسی صحت نتیجه های این نرم افزار، سطح مقطع راداری دو هنگامی یک استوانه هادی به شعاع $a = 0.15\text{ m}$ ، از روش فرمول تحلیلی (۲۹) محاسبه شده است و با نتیجه های حاصل از بسته نرم افزاری مذکور در شکل (۹) مقایسه شده است، که تطابق بسیار خوبی بین این دو روش وجود دارد، بنابراین نتیجه های شبیه سازی سطح مقطع راداری با استفاده از بسته نرم افزاری



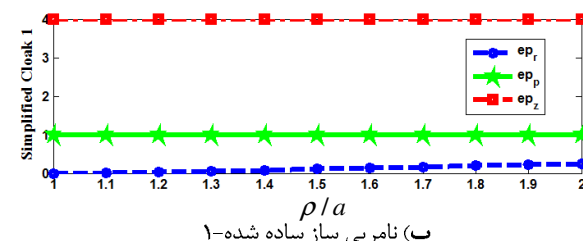
(الف) نامربی ساز ایده‌آل



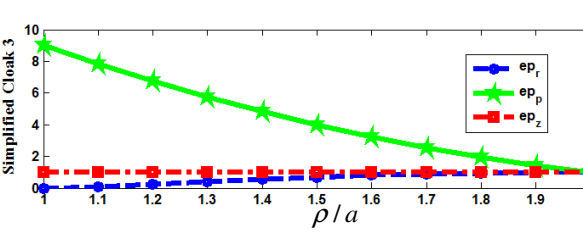
(ب) نامربی ساز ساده شده-۲



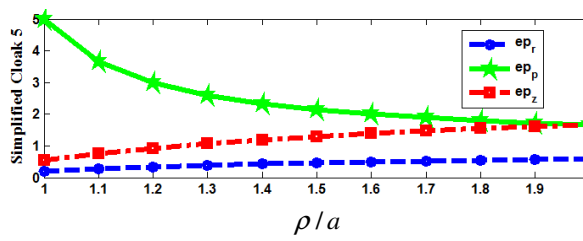
(ج) نامربی ساز ساده شده-۳



(د) نامربی ساز ساده شده-۴

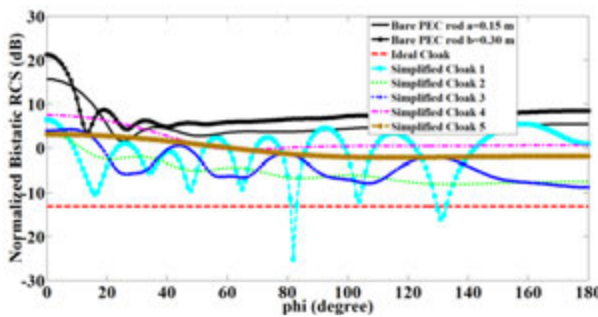


(ه) نامربی ساز ساده شده-۵

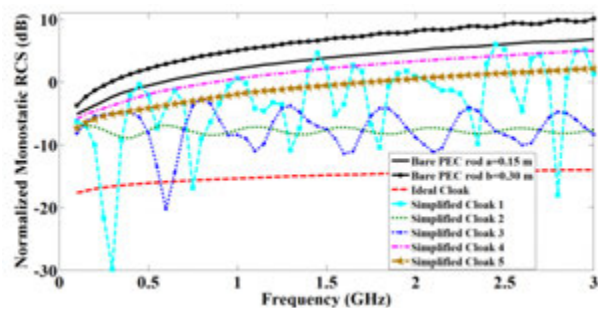


(و) نامربی ساز ساده شده-۶

شکل ۸. تغییرات شعاعی پارامترهای مواد برای نامربی سازهای مختلف: (الف) نامربی ساز ایده‌آل (ب) نامربی ساز ساده شده-۱ (ج) نامربی ساز ساده شده-۲-۳ (د) نامربی ساز ساده شده-۴ (ه) نامربی ساز ساده شده-۵ (و) نامربی ساز ساده شده-۶



شکل ۱۰. سطح مقطع پراکندگی دو هنگامی نرمالیزه شده به طول موج برای استوانه هادی بدون نامربی ساز و با وجود انواع نامربی سازهای ساده

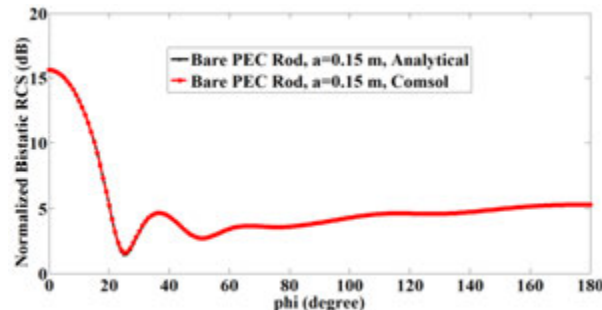


شکل ۱۱. سطح مقطع پراکندگی تک هنگامی نرمالیزه شده به طول موج برای استوانه هادی بدون نامربی ساز و با وجود انواع نامربی سازهای ساده شده

در شکل های (۱۰) و (۱۱) مشاهده می شود که همواره سطح مقطع راداری ساختار شامل نامربی ساز ساده شده-۵ (که برای آن $m_2 = 0.5$ است) به مراتب کمتر از ساختار شامل نامربی ساز ساده شده-۴ (که برای آن $m_1 = 0.1$ است) است، بنابراین هرچند با استفاده از انتقال مختصات خطی در حالت نامربی سازهای ساده شده ۴ و ۵ و با کوچکتر کردن شعاع مرزهای دایروی ρ_1 و ρ_2 می توان نامربی ساز ساده شده را به نامربی ساز ایدهآل نزدیک کرد و از خواص آن بهره برد، ولی از مقایسه شکل های (۵) و (۸) و (۱۱) ملاحظه می شود که هر چه شعاع مرزهای مذکور کوچکتر شود، تحقق و پیاده سازی پارامترهای ماده مربوطه ناممکن تر می شود.

۵. نتیجه گیری

در این مقاله، مشخصات پراکندگی نامربی ساز الکترومغناطیسی ایدهآل استوانه ای با تمام جزئیات مطالعه شده و معادله دقیق موج برای آن استخراج شده است. براساس روابط تحلیلی و با استفاده از نرم افزار MATLAB میدان های الکترومغناطیسی در کلیه نواحی برای حالت های میدان نزدیک و میدان دور، محاسبه شده است و نتیجه های آن با نتیجه های شبیه سازی تمام موج مبتنی بر روش المان محدود (FEM) و با استفاده از بسته نرم افزاری COMSOL Multiphysics بررسی شده و درستی آن تأیید شده است. برای میدان نزدیک و دور، موج الکترومغناطیسی تابشی به



شکل ۹. مقایسه سطح مقطع پراکندگی دو هنگامی نرمالیزه شده به طول موج برای یک استوانه هادی بدون نامربی ساز در دو حالت شبیه سازی با نرم افزار COMSOL و روش محاسبه تحلیلی

سطح مقطع راداری دو هنگامی نرمالیزه شده به طول موج برای ساختار شکل (۳) با وجود نامربی ساز ایدهآل و نیز انواع نامربی سازهای ساده شده موجود در جدول (۱)، در شکل (۱۰) نشان داده شده است. در این شکل، کاهش شدید سطح مقطع راداری در حالت وجود نامربی ساز ایدهآل مشاهده می شود، به طوری که در زاویه صفر درجه، با حضور نامربی ساز ایدهآل، سطح مقطع راداری نسبت به استوانه ای هادی تنها با شعاع $m=b$ (برابر شعاع بیرونی نامربی ساز) $34/38$ dB و نسبت به استوانه ای هادی تنها با شعاع $m=a$ بیش از 29 dB کاهش می یابد. در حالت های وجود انواع نامربی سازهای ساده شده هر چند میزان کاهش سطح مقطع راداری به خوبی نامربی ساز ایدهآل نیست ولی کاهش سطح مقطع راداری برای این نوع نامربی سازها نیز نسبت به حالت استوانه هادی بدون وجود نامربی ساز آشکار است، به طوری که میزان کاهش سطح مقطع راداری دو هنگامی برای نامربی سازهای ساده شده-۲ نسبت به استوانه هادی تنها با شعاع $m=b$ بیش از 18 dB است. سطح مقطع راداری نامربی سازهای ساده شده-۱ و ۳ تغییرات زیادی نسبت به زاویه دارند، ولی بیشترین میزان کاهش سطح مقطع راداری در بین انواع نامربی سازهای ساده شده را نامربی ساز ساده شده-۲ ایجاد می کند، در ضمن دامنه تغییرات شعاعی پارامترهای ماده این نوع نامربی ساز نیز زیاد نیست و با بررسی شکل (۸-ب)، می توان دریافت که پارامترهای ماده مربوط به این نوع نامربی ساز قابل مقایسه با پارامترهای نامربی ساز ساده شده-۱ است که پیاده سازی و آزمایش شده است [۲]. به نظر می رسد با توجه به انطباق امپدانسی بهتر نامربی ساز ساده شده-۲ با فضای آزاد در بیرون از نامربی ساز، کاهش پراکندگی و نیز سطح مقطع راداری را به همراه دارد.

شکل (۱۱) سطح مقطع راداری تک هنگامی نرمالیزه شده به طول موج را بر حسب فرکانس نشان می دهد. همان طور که انتظار می رود با افزایش فرکانس، سطح مقطع راداری نیز زیاد می شود. در این شکل نیز پس از نامربی ساز ایدهآل، بیشترین کاهش سطح مقطع راداری مربوط به نامربی ساز ساده شده-۲ است که میزان تغییرات آن بر حسب فرکانس نیز از نامربی ساز ساده شده-۳ کمتر است.

- [7] Alu, A.; Engheta, N. "Achieving Transparency with Plasmonic and Metamaterial Coatings"; *Phys. Rev. E* 2005, 72, 016623/1-9.
- [8] Sihvola, A. H. "Peculiarities in the Dielectric Response of Negative-Permittivity Scatterers"; *Progress in Electromagnetic Res., PIER* 2006, 66, 191-198.
- [9] Vafii, K.; Javan Maleki, A. R.; Abrishamian, M. S.; Granpayeh, N. "Dispersive Behavior of Plasmonic and Metamaterial Coating on Achieving Transparency"; *J. Electromagnetic Waves and Appl.* 2008, 22, 941-952.
- [10] Chen, H.; Wu, B. I.; Zhang, B.; Kong, J. A. "Electromagnetic Wave Interactions with a Metamaterial Cloak"; *Phys. Rev. Lett.* 2007, 99, 063903/1-4.
- [11] Zhang, B.; Chen, H.; Wu, B. I.; Luo, Y.; Ran, L. X.; Kong, J. A. "Response of a Cylindrical Invisibility Cloak to Electromagnetic Waves"; *Phys. Rev. B* 2007, 76, 121101/1-4.
- [12] Zhang, B.; Chen, H.; Wu, B. I.; Kong, J. A. "Extraordinary Surface Voltage Effect in the Invisibility Cloak with an Active Device Inside"; *Phys. Rev. Lett.* 2008, 100, 063904/1-6.
- [13] Ruan, Z.; Neff, M. C. W.; Qiu, M. "Ideal Cylindrical Cloak: Perfect but Sensitive to Tiny Perturbations"; *Phys. Rev. Lett.* 2007, 99, 113903/1-4.
- [14] Yan, M.; Ruan, Z.; Qiu, M. "Cylindrical Invisibility Cloak with Simplified Material Parameters is Inherently Visible"; *Phys. Rev. Lett.* 2007, 99, 233901/1-4.
- [15] Argyropoulos, C.; Zhao, Y.; Hao, Y. "A Radially-Dependent Dispersive Finite-Difference Time-Domain Method for the Evaluation of Electromagnetic Cloaks"; *IEEE Trans. Antennas Propag.* 2009, 57, 5, 1432-1441.
- [16] Cummer, S. A.; Popa, B. I.; Schurig, D.; Smith, D. R.; Pendry, J. "Full-Wave Simulations of Electromagnetic Cloaking Structures"; *Phys. Rev. E* 2006, 74, 036621/1-5.
- [17] Kwon, D. H.; Werner, D. H. "Two-Dimensional Eccentric Elliptic Electromagnetic Cloaks"; *Appl. Phys. Lett.* 2008, 92, 013505/1-3.
- [18] Wu, Q.; Zhang, K.; Meng, F. Y.; Li, L. W. "Electromagnetic Characteristics of Metamaterial Cloak Covered Dielectric Cylinder Illuminated by Electric Line Source"; *IET Microw. Antennas Propag.* 2010, 4, 10, 1680-1688.
- [19] Balanis, C. A. "Advanced Engineering Electromagnetic"; John Wiley, New York, 1989.
- [20] Chew, W. C. "Waves and Fields in Inhomogeneous Media"; IEEE Press, New York, 1995.
- [21] Arslanagic, S.; Breinbjerg, O. "Electric-Line-Source Illumination of a Circular Cylinder of Lossless Double Negative Material: An Investigation of Near Field, Directivity, and Radiation Resistance"; *IEEE Antennas Propagat. Mag.* 2006, 48, 38-54.
- [22] Yan, M.; Ruan, Z.; Qiu, M. "Scattering Characteristics of Simplified Cylindrical Invisibility Cloaks"; *Opt. Exp.* 2007, 15, 17772-17782.
- [23] Yan, W.; Yan, M.; Qiu, M. "Non-Magnetic Simplified Cylindrical Cloak with Suppressed Zeroth Order Scattering"; *Appl. Phys. Lett.* 2008, 93, 021909/1-3.
- [24] Isić, G.; Gajić, R.; Novaković, B.; Popović, Z. V.; Hingerl, K. "Radiation and Scattering from Imperfect Cylindrical Electromagnetic Cloaks"; *Opt. Exp.* 2008, 16, 1413-1422.

نامری ساز ایده‌آل، به نرمی خم می‌شود و از پیرامون ناحیه نامری‌شونده منتشر می‌شود. در بیرون از نامری ساز جبهه موج الکترومغناطیسی تابشی تغییر نمی‌کند، یعنی با وجود نامری ساز ایده‌آل، ناحیه نامری‌شونده حاوی یک استوانه هادی هیچ نوع میدان پراکنده‌گی ایجاد نمی‌کند و وجود استوانه هادی به وسیله موج تابشی حس نمی‌شود.

کاربرد نامری ساز برای کاهش سطح مقطع راداری و استثار مطالعه شده است و از نظر تحقق و پیاده‌سازی نیز عملکرد و حساسیت نامری ساز استوانه‌ای با وجود برخی ملاحظات عملی مانند اثر ساده‌سازی پارامترها، بررسی شده است. با استفاده از لایه استوانه‌ای نامری ساز ایده‌آل می‌توان سطح مقطع راداری را به میزان ۳۴/۳۸ dB کاهش داد و با استفاده از نامری سازهای ساده شده کاهش سطح مقطع راداری تا سطح بیش از ۱۸ dB قابل دست‌یابی است. پس هرچند میزان کاهش سطح مقطع راداری در این نوع نامری سازها در مقایسه با نامری ساز ایده‌آل کمتر است، با وجود این، ضمن قابل تحقیق بودن، میزان کاهش سطح مقطع راداری و استثارشان در حد قابل قبولی است.

۶. تقدیر و تشکر

به پاس زحمات و راهنمایی‌های شروع تحقیق، این مقاله به روح مرحوم دکتر محمد حکاک تقدیم می‌شود.
این تحقیق طبق قرارداد شماره (۴۲۸۴/۵۰۰) از حمایت مالی مؤسسه تحقیقات ارتباطات و فناوری اطلاعات (ITRC) برخوردار بوده است، بدین وسیله از این مؤسسه تشکر و قدردانی می‌شود.

۷. مراجع

- [1] Pendry, J.B.; Schurig, D.; Smith, D.R. "Controlling Electromagnetic Fields"; *J. Sci.* 2006, 312, 1780-1782.
- [2] Schurig, D.; Mock, J.J.; Justice, B.J.; Cummer, S. A.; Pendry, J. B.; Starr, A.F.; Smith, D.R. "Metamaterial Electromagnetic Cloak at Microwave Frequencies"; *J. Sci.* 2006, 314, 977-980.
- [3] Leonhardt, U. "Optical Conformal Mapping"; *J. Sci.* 2006, 312, 1777-1780.
- [4] Xi, S.; Chen, H.; Wu, B.I.; Zhang, B.; Huangfu, J.; Wang, D.; Kong, J.A. "Effects of Different Transformations on the Performance of Cylindrical Cloaks"; *J. Electromagnetic Waves and Appl.* 2008, 22, 11, 1489-1497.
- [5] Cheng, X.; Chen, H.; Wu, B.I.; Kong, J.A. "Cloak for Biaxial and Moving Media"; *Progress In Electromagnetic Res., PIER* 2009, 89, 199-212.
- [6] Schurig , D.; Pendry, J.B.; Smith, D.R. "Calculation of Material Properties and Ray Tracing in Transformation Media"; *Optics Express* 2006, 14, 21, 9794-9804.